



# Proceedings

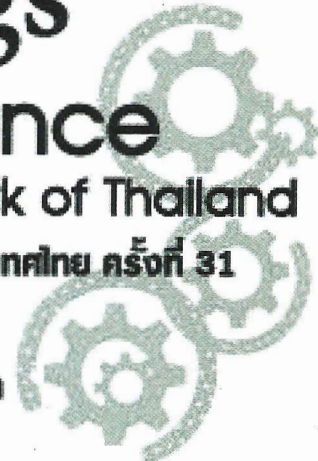
## The 31<sup>st</sup> Conference

### of Mechanical Engineering Network of Thailand

การประชุมวิชาการเครือข่ายวิศวกรรมเครื่องจักรแห่งประเทศไทย ครั้งที่ 31

ระหว่างวันที่ 4 – 7 กรกฎาคม 2560

ณ โรงแรมเชียงใหม่ รีสอร์ต จ.น่านฯ



|  |      |
|--|------|
| <b>ETM-09.....</b>   | 1141 |
| การวิเคราะห์ประสิทธิภาพของระบบผลิตแก๊สไฮโดรเจนที่ให้พลังงานด้วยระบบ PV/T <sup>บุณย์ฤทธิ์ ประสาทแก้ว<sup>1*</sup> นานพ แย้มแพง<sup>1</sup> และ อิศากุล่า โลหพรหม<sup>2</sup></sup>  |      |
| <b>ETM-10.....</b>   | 1148 |
| อิทธิพลของห้องอากาศที่มีขนาดแตกต่างกันต่อประสิทธิภาพของเครื่องตะบันนำ<br><u>ชิตพล คงศิลา<sup>1*</sup></u>  |      |
| <b>ETM-11.....</b>   | 1155 |
| การเพิ่มค่า COP ของเครื่องปรับอากาศแบบแยกส่วนโดยใช้การระบายความร้อนด้วยอากาศร่วมกับการระเหยของน้ำ กรณีศึกษาตัวกลางจาก ไขบวน เยื่อกระดาษ และแผงรังผึ้ง <sup>ยุทธชัย เกี้ยวสันเทียะ<sup>1</sup></sup>  |      |
| <b>ETM12</b>   |      |
| <b>ETM-13.....</b>   | 1161 |
| การถ่ายเทความร้อนและความเสียดทานในห้องอุ่นอากาศพลังแสงอาทิตย์ด้วยการติดตั้งปีกโคลนแพนเดคซับความร้อน<br><u>โชคดุษ ประสะสูข<sup>1</sup>, วิทูร์ย์ ชิงถั่วยทอง<sup>1</sup>, พงษ์เจต พรหมวงศ์<sup>2</sup>, สุราทิพย์ วิทยปิyanan<sup>3</sup></u><br>และ สมพล ศักลหlong <sup>3*</sup> |      |
| <b>ETM-14.....</b>   | 1169 |
| อิทธิพลของแผ่นกันวางเรียงต่อสมรรถนะเชิงความร้อนภายใต้สีเหลี่ยมจัตุรัส <sup>นรินทร์ กุลนภาดล<sup>1</sup>, สวิยา โชคเพิ่มพูน<sup>2</sup>, พงษ์เจต พรหมวงศ์<sup>3</sup>, พิทักษ์ พร้อมไธสง<sup>4</sup>, ประทาน ศรีชัย<sup>5</sup></sup><br>และ สมพล ศักลหlong <sup>6*</sup>         |      |
| <b>ETM-15.....</b>   | 1178 |
| พฤติกรรมความร้อนในห้องที่มีการติดตั้งแผ่นปีกสีเหลี่ยม<br><u>ภานุวรรณ หันพงษ์<sup>1</sup>, สุภัตรชัย สุวรรณพันธุ์<sup>2</sup>, ธีรพัฒน์ ชุมภูคำ<sup>3</sup>, พงษ์เจต พรหมวงศ์<sup>4</sup>, และ สมพล ศักลหlong<sup>5*</sup></u>  |      |
| <b>ETM-16.....</b>   | 1187 |
| เครื่องอบแห้งลำไยเฉพาะเนื้อด้วยใช้อุ่นห้าร้อนwaysดึงที่ความตันดำเน <sup>อารีย์ อัจฉริยวิริยะ<sup>1,2</sup>, กอตขวัญ นามสงวน<sup>1,2*</sup> และ ศิริวัชร์ อัจฉริยวิริยะ<sup>1,2</sup></sup>   |      |
| <b>ETM-17.....</b>   | 1194 |
| แนวทางการปรับปรุงเพิ่มสมรรถนะของเครื่องอบแห้งลำไยเฉพาะเนื้อด้วยใช้พลังงานชีมวล <sup>ศิริวัชร์ อัจฉริยวิริยะ<sup>1</sup>, จตุรพัตก์ ปัลณวลี<sup>1</sup> และ อารีย์ อัจฉริยวิริยะ<sup>1*</sup></sup>   |      |
| <b>ETM-18.....</b>   | 1201 |
| การศึกษาการพาราความร้อนในห้องแลกเปลี่ยนความร้อนด้วยการใส่ร่องแหวน 5 เหลี่ยม <sup>นรินทร์ กุลนภาดล<sup>1</sup>, พงษ์เจต พรหมวงศ์<sup>2</sup> และ วิทูร์ย์ ชิงถั่วยทอง<sup>3*</sup></sup>  |      |
| <b>ETM-19.....</b>   | 1211 |
| การเพิ่มประสิทธิภาพของแผงโซล่าเซลล์ โดยรูปแบบการวางแผนพาราโบลา <sup>อภิชน มุงชู<sup>1*</sup>, สถิตพงศ์ เสวีymศักดิ์<sup>1</sup>, สุพัตรา บุ๊ธีสง<sup>1</sup></sup>   |      |



## พฤติกรรมความร้อนในท่อกลมที่มีการติดตั้งแผ่นปีกสี่เหลี่ยม

Thermal characteristics in round tube fitted with rectangular-winglet tape

ภาณุวัฒน์ หุ่นพงษ์<sup>1</sup>, สุภารัชัย สุวรรณพันธุ์<sup>2</sup>, อธิพัฒน์ ชุมภูคำ<sup>3</sup>, พงษ์เจต พรหมวงศ์<sup>4</sup>, และ สมพล ศกุลหลง<sup>5\*</sup>

<sup>1</sup> สาขาวิชาเทคโนโลยีเครื่องกล คณะเทคโนโลยีอุตสาหกรรม มหาวิทยาลัยราชภัฏเทพสตรี

321 ถนนนราธิยัณฑ์มหาราช ตำบลทะเลสาบหู อำเภอเมือง จังหวัดลพบุรี 15000

<sup>2</sup> สาขาวิชาวิศวกรรมเครื่องกล คณะวิศวกรรมศาสตร์ มหาวิทยาลัยเทคโนโลยีราชมงคลล้านนา วิทยาเขตเชียงใหม่

150 หมู่ 6 ถนนรัตน์ฯ ต.ในเมือง อ.เมืองเชียงใหม่ จ.เชียงใหม่ 40000

<sup>3</sup> ห้องวิจัยท่อความร้อนและออกแบบเครื่องมือทางความร้อน คณะวิศวกรรมศาสตร์ มหาวิทยาลัยมหาสารคาม

41/20 ตำบลสามเรียง อำเภอท่าจีน จังหวัดมหาสารคาม 44150

<sup>4</sup> สาขาวิชาวิศวกรรมเครื่องกล คณะวิศวกรรมศาสตร์ สถาบันเทคโนโลยีพระจอมเกล้าเจ้าคุณทหารลาดกระบัง

ซอยคลองกรุง 1 ถนนคลองกรุง เขตลาดกระบัง กรุงเทพมหานคร 10520

<sup>5</sup> กลุ่มวิจัยระบบพลังงาน ภาควิชาวิศวกรรมเครื่องกล คณะวิศวกรรมศาสตร์วิศวกรรมศาสตร์ วิทยาเขตศรีราชา

199 หมู่ 6 ถนนสุขุมวิท ตำบลคลองสุขุมวิท อำเภอศรีราชา จังหวัดชลบุรี 20230

\*ติดต่อ: E-mail: sfengsps@src.ku.ac.th, sompol@eng/src.ku.ac.th

### บทคัดย่อ

บทความนี้นำเสนอการศึกษาผลกระทบของการติดตั้งแผ่นปีกสี่เหลี่ยมผืนผ้าต่อพฤติกรรมการถ่ายเทความร้อน และความเสียดทานในท่อเครื่องแลกเปลี่ยนความร้อนที่มีสภาพฟลักซ์ความร้อนคงที่ การทดสอบทำการปรับเปลี่ยนมุมปะทะปีก 4 ค่า ( $\alpha = 30^\circ, 45^\circ, 60^\circ$  and  $90^\circ$ ) โดยมีสัดส่วนความสูงปีกต่อเส้นผ่านศูนย์กลางห่อ ( $BR=0.3$ ) และสัดส่วนระยะpitchปีกต่อเส้นผ่านศูนย์กลางห่อ ( $PR=2$ ) คงที่ จุดประสงค์ของการติดตั้งแผ่นปีกเพื่อช่วยสร้างการไหลหมุนคงตามแนวแกนของห่อซึ่งส่งผลให้เกิดความบันบวนที่นำไปสู่การเพิ่มค่าการถ่ายเทความร้อน การทดลองดำเนินการโดยใช้อากาศเป็นของไหลทดสอบในช่วงการไหลบันบวนที่ค่าเลขเรียนโนลด์ส 4200 ถึง 25,900 การทดลองมีการเปรียบเทียบระหว่างห่อที่มีการติดตั้งแผ่นปีกและห่อเปล่าผิวเรียบ ผลการทดลองพบว่าการติดตั้งแผ่นปีกสามารถเพิ่มอัตราการถ่ายเทความร้อนได้ถึง 3.68 เท่า เมื่อเทียบกับห่อเปล่าผิวเรียบ ขณะที่ตัวประกอบเสียดทานมีค่าสูงถึง 27.49 เท่า แผ่นปีกที่  $\alpha = 60^\circ$  ให้ค่าการถ่ายเทความร้อนในท่อของเหล็กสีเซลท์และความเสียดทานในท่อของตัวประกอบเสียดทานสูงสุดแต่แผ่นปีกที่  $\alpha = 30^\circ$  ให้ค่าสมรรถนะเชิงความร้อนสูงสุดเท่ากับ 1.5 ที่ค่าเลขเรียนโนลด์สต่ำสุด

**คำหลัก:** การถ่ายเทความร้อน, ปีกสี่เหลี่ยม, การไหลหมุนคง, ความเสียดทาน, สมรรถนะเชิงความร้อน

### Abstract

The article presents an investigation of the effect of rectangular-winglet tape (RWT) insert on heat transfer and pressure loss behaviors in a constant heat fluxed tube. The effect of pertinent RWT parameters such as four winglet attack angle ( $\alpha = 30^\circ, 45^\circ, 60^\circ$  and  $90^\circ$ ) at a single relative winglet height ( $BR=0.3$ ) and relative winglet pitch ( $PR=3$ ) on thermal characteristics is examined. The aim at using the RWT inserted is to create longitudinal vortex flow in the tube to help increase the turbulence intensity leading to higher heat transfer enhancement. The measurements have been



conducted for the airflow rate based on Reynolds numbers (Re) in the turbulent regime from 4200 to 25,900. The experiments using the plain tube and the tubes with RWTs were also carried out for assessment. The experimental results reveal that the RWT can considerably enhance the heat transfer rate up to 3.68 times above the plain tube whereas the friction factor is up to 27.49 times. The RWT with  $\alpha = 60^\circ$  yields the maximum Nusselt number (Nu) and friction factor ( $f$ ) but the one with  $\alpha = 30^\circ$  provides the highest thermal performance of about 1.5 at lower Re.

**Keywords:** Heat transfer, Rectangular winglet, Vortex generator, Friction loss, Thermal performance.

### 1. บทนำ

พัลส์งานเป็นปัจจัยขับเคลื่อนที่สำคัญในโลกปัจจุบันและมีบทบาทสำคัญในการเรียนติบโตทางด้านเศรษฐกิจและการพัฒนาอุตสาหกรรม การเพิ่มขึ้นของประชากรและความต้องการทางด้านพัลส์งานมีมากขึ้นทุกปีทำให้นักวิจัยตระหนักรถึงปริมาณพัลส์งานที่ลดลงอย่างต่อเนื่อง เพื่อลดการใช้ทรัพยากรพัลส์งาน นักวิจัยจำนวนมากมาจึงมีแนวคิดในการเพิ่มประสิทธิภาพให้แก่อุปกรณ์ที่มีอยู่เดิมเพื่อประหยัดพัลส์งาน ลดขนาด รวมทั้งลดต้นทุนในการผลิตอุปกรณ์ทางด้านพัลส์งาน เครื่องแลกเปลี่ยนความร้อนเป็นอุปกรณ์ชนิดหนึ่งที่ใช้พัลส์งานความร้อน และเป็นที่นิยมใช้กันอย่างแพร่หลายในงานทางด้านวิศวกรรม การเพิ่มสมรรถนะให้แก่เครื่องแลกเปลี่ยนความร้อนเป็นสิ่งจำเป็นอย่างยิ่งโดยส่วนใหญ่ อุปกรณ์สร้างการไหลปั่นป่วน (Turbulator device) เช่น ลวดขด (Wire coil) และใบบิด (Twisted tape) ได้ถูกนำมาใช้เพื่อเพิ่มค่าสัมประสิทธิ์การพาความร้อน (Convective heat transfer coefficient) ให้แก่เครื่องแลกเปลี่ยนความร้อน โดย Promvonge [1] ทำการทดลองเพื่อเพิ่มสมรรถนะเครื่องแลกเปลี่ยนความร้อนโดยติดตั้งลวดขดหน้าตัดสี่เหลี่ยมจัตุรัสเปรียบเทียบกับลวดขดหน้าตัดกลม ในช่วงการไหลปั่นป่วน ( $Re=5000-25,000$ ) การทดลองแสดงให้เห็นว่าลวดขดหน้าตัดสี่เหลี่ยมจัตุรัสให้ค่าสมรรถนะสูงสุดโดยมีค่าเฉลี่ยเท่ากับ 1.18 ขณะที่ลวดขดหน้าตัดกลมมีค่าเฉลี่ยเท่ากับ 1.1 ต่อมาก Promvonge [2] ศึกษาการเพิ่มสมรรถนะเชิงความร้อนให้แก่เครื่องแลกเปลี่ยนความร้อนชนิดท่อกลมด้วยวิธีการทดลองที่มี

อาจเป็นของเหลวทดสอบ ใบบิดและลวดขดถูกใส่ในท่อแลกเปลี่ยนความร้อนเพื่อเพิ่มค่าสมรรถนะเชิงความร้อน ผลการทดลองพบว่า การใช้ลวดขดร่วมกับบิดให้ค่าการถ่ายเทความร้อนและสมรรถนะเชิงความร้อนสูงกว่าการใช้ใบบิดหรือลวดขดเพียงอย่างเดียวที่นี่ Eiamsa-ard et al. [3] ทำการเพิ่มค่าการถ่ายเทความร้อนในท่อกลมด้วยการติดตั้งใบบิดแบบเว็บช่วงเทียบกับใบบิดยาวและสร้างสมมติฐานว่าการถ่ายเทความร้อนรวมทั้งค่าตัวประกอบเสียดทาน ผลการทดลองพบว่า ใบบิดยาวให้ค่าการถ่ายเทความร้อนรวมทั้งค่าตัวประกอบเสียดทานสูงกว่า การติดตั้งใบบิดแบบเว็บช่วง สมมติฐานของค่าการถ่ายเทความร้อนและค่าตัวตัวประกอบเสียดทานมีความคลาดเคลื่อน  $\pm 15\%$  ต่อมาก Eiamsa-ard et al. [4] ศึกษาการพาความร้อนในท่อกลมด้วยการติดตั้งใบบิดระยะสั้น (short-length twisted tape) โดยมีอัตราส่วนระยะห่าง 3 ค่า ( $LR=0.29, 0.43$  และ  $0.57$ ) และเปรียบเทียบกับใบบิดยาว จากการทดลองพบว่า ใบบิดที่ระยะ 0.29, 0.43 และ 0.57 มีค่าการถ่ายเทความร้อนต่ำกว่าใบบิดยาว 14%, 9.5% และ 6.7% ขณะที่ตัวประกอบเสียดทานมีค่าต่ำกว่าใบบิดยาว 21%, 15.3% และ 10.5% ตามลำดับ Bhuiya et al. [5] ศึกษาพฤติกรรมการถ่ายเทความร้อนและความเสียดทานการไหลของท่อกลมที่มีการติดตั้งใบบิดพรุนโดยมีอัตราส่วนความพรุน 4 ค่า ( $R_p=1.6, 4.5, 8.9$  และ  $14.7\%$ ) จากการทดลองพบว่า การติดตั้งใบบิดพรุนให้ค่าการถ่ายเทความร้อน ตัวประกอบเสียดทาน และสมรรถนะเชิงความ



ร้อนสูงกว่าท่อผิวเรียบในช่วง 110–340, 110–360 และ 28–59% ตามลำดับ

จากการวิจัยที่ผ่านมาข้างต้นแสดงให้เห็นว่า อุปกรณ์เหล่านี้สามารถเพิ่มค่าสมรรถนะให้แก่เครื่อง แลกเปลี่ยนความร้อนได้ในระดับหนึ่ง ต่อมาก็ได้มีการ พัฒนาอุปกรณ์ดังกล่าวโดยมีจุดประสงค์เพื่อสร้างระดับ การไหลให้แข็งแรงยิ่งขึ้นกว่าเดิม ซึ่งเรียกว่าการไหลมุน คง (Vortex generator, VG) โดยอุปกรณ์สร้างการไหล มุนคงที่นิยมใช้ คือ ปีก (Winglet) ซึ่ง Xu et al. [6] ทำการจำลองเชิงตัวเลข (Numerical simulation) ของ ผลกระทบจากการติดตั้งปีกที่มีต่อค่าสมรรถนะเชิงความ ร้อน ผลการจำลองพบว่า การติดตั้งปีกให้ค่าการถ่ายเท ความร้อนและตัวประกอบเสียดทานสูงการท่อผนังเรียบ อย่างมาก ส่วนค่าสมรรถนะเชิงความร้อนมีค่าสูงสุดที่ กรณีติดตั้งปีกมุนปะทะ ( $\alpha = 30^\circ, 45^\circ, 60^\circ$  และ  $90^\circ$ ) สัดส่วนความสูงปีกต่อเส้นผ่านศูนย์กลางท่อ ( $b/D=BR$ ) และสัดส่วนระยะพิทซ์ปีก ( $P/D=PR$ ) ค่าเดียว คือ 0.3 และ 3 ตามลำดับ

อย่างจำกัดและมีจำนวนน้อยเมื่อเทียบกับอุปกรณ์สร้าง การไหลปั้นปวน ดังนั้นงานวิจัยนี้จึงมีแนวคิดในการ พัฒนาอุปกรณ์สร้างการไหลมุนคงตามแนวแกนชนิด ปีกเพื่อเพิ่มสมรรถนะให้แก่เครื่องแลกเปลี่ยนความร้อน ชนิดท่อกลม โดยทำการติดตั้งแผ่นปีกฐานปีก 4 ค่า ( $\alpha = 30^\circ, 45^\circ, 60^\circ$  และ  $90^\circ$ ) สัดส่วนความสูงปีกต่อเส้นผ่านศูนย์กลางท่อ ( $b/D=BR$ ) และสัดส่วนระยะพิทซ์ปีก ( $P/D=PR$ ) ค่าเดียว คือ 0.3 และ 3 ตามลำดับ

## 2. ทฤษฎีในการวิเคราะห์

การคำนวณหาค่าอัตราการถ่ายเทความร้อน คุณภาพเชิงพาหะความร้อน เลขนับเซเลฟเฟล์ด ตัว ประกอบเสียดทาน และสมรรถนะเชิงความร้อนในท่อ เครื่องแลกเปลี่ยนความร้อนแบบท่อกลม แสดงดังสมการ ต่อไปนี้

$$Q_{\text{air}} = Q_{\text{conv}} \quad (1)$$

$$Q_{\text{air}} = \dot{m} C_p (T_o - T_i) \quad (2)$$

ค่าการพาหะความร้อนที่ผิวสามารถเขียนได้ดังนี้

$$Q_{\text{conv}} = hA(\tilde{T}_s - T_b) \quad (3)$$

เมื่อ

$$T_b = (T_o + T_i)/2 \quad (4)$$

และ

$$\tilde{T}_s = \sum T_s / 24 \quad (5)$$

เมื่อ  $T_s$  คือ อุณหภูมิผิวท่อที่ทดสอบแต่ละจุดตามแนว ยาว ซึ่งไม่คิดความด้านทานความร้อนของท่อ โดยวัด อุณหภูมิที่ผนังท่อทดสอบจากทางเข้าถึงทางออกทั้ง 4 ด้านของท่อถายกัน 24 จุด ค่าสัมประสิทธิ์การถ่ายเท ความร้อนเฉลี่ยสามารถหาได้ดังต่อไปนี้

$$Q_{\text{air}} = Q_{\text{conv}} = \dot{m} C_p (T_o - T_i) = IV \quad (6)$$

$$h = \frac{Q_{\text{conv}}}{A(\tilde{T}_s - T_b)} \quad (7)$$

และค่าเลขนับเซเลฟเฟล์ดเฉลี่ยสามารถหาได้ดังนี้

$$Nu = \frac{hD}{k} \quad (8)$$



โดยที่

- $A$  คือ พื้นที่ผิวการถ่ายเทความร้อน ( $m^2$ )  
 $C_p$  คือ ค่าความจุความร้อนจำเพาะของอากาศ ( $J/kg K$ )  
 $D$  คือ เส้นผ่านศูนย์กลางของห้อง ( $m$ )  
 $I$  คือ กระแสไฟฟ้า ( $A$ )  
 $k$  คือ สภาพการนำความร้อน ( $W/m K$ )  
 $m$  คือ อัตราการไหลเชิงมวลของอากาศ ( $kg/s$ )  
 $T_s$  คือ อุณหภูมิผิวเฉลี่ย ( $^{\circ}C$ )  
 $T_i$  คือ อุณหภูมิทางเข้า ( $^{\circ}C$ )  
 $T_o$  คือ อุณหภูมิทางออก ( $^{\circ}C$ )  
 $V$  คือ ค่าความต่างศักย์ (voltage)

ค่าเลขเรย์โนลต์ ( $Re$ ) สำหรับการไหลของของเหลวในท่อทดสอบ สามารถหาได้ดังนี้

$$Re = UD/v \quad (9)$$

เมื่อ  $U$  และ  $v$  เป็นความเร็วเฉลี่ยและความหนืดเชิงจนร์ของอากาศ ตามลำดับ และค่าตัวประกอบเสียดทาน ( $f$ ) สามารถหาได้ดังนี้

$$f = \frac{2}{(L/D)} \frac{\Delta P}{\rho U^2} \quad (10)$$

เมื่อ  $\Delta P$  คือ ค่าความดันต่อกำลังของชุดทดสอบ  $L$  คือ ความยาวท่อทดสอบ และ  $\rho$  คือ ความหนาแน่นของของเหลว คุณสมบัติทางกายภาพของอากาศ ถูกกำหนดที่ อุณหภูมิของไหลเฉลี่ย ( $T_s$ ) จากสมการ (4)

สมรรถนะเชิงความร้อน (Thermal Enhancement Factor, TEF) จากเอกสารอ้างอิง [1-8, 10, 11]

$$TEF = \left( \frac{Nu}{Nu_0} \right) / \left( \frac{f}{f_0} \right)^{1/3} \quad (11)$$

### 3. อุปกรณ์และวิธีการทดสอบ

#### 3.1 อุปกรณ์สร้างการไหลหมุนคงที่

แผ่นเปิดที่ใช้สำหรับทดสอบและท่อทดสอบของเครื่องแลกเปลี่ยนความร้อนแสดงดังรูปที่ 1 จากรูปท่อทดสอบมีขนาดเส้นผ่านศูนย์กลาง ( $D$ ) 50 มิลลิเมตร ยาว

( $L$ ) 1200 มิลลิเมตร การทำงาน ( $P_{peak}$ ) ทำโดยใช้แผ่นอะลูминียมที่มีความหนา ( $t$ ) 0.5 มิลลิเมตร จากนั้นทำการรูเจาะเป็นรูปสี่เหลี่ยมผืนผ้าแล้วจัดซึ้งเป็นคู่ โดยปีกมีความสูง ( $b$ ) 15 มิลลิเมตร เทียบเท่ากับสัดส่วนความสูงปีกต่อเส้นผ่านศูนย์กลางห้อง ( $b/D=BR=0.3$ ) ระยะพิเศษ ( $P$ ) 150 มิลลิเมตร เทียบเท่ากับสัดส่วนระยะพิเศษปีกต่อเส้นผ่านศูนย์กลางห้อง ( $P/D=PR=3$ ) และมีมุมปะทะ 4 ค่า ( $\alpha = 30^{\circ}, 45^{\circ}, 60^{\circ}$  และ  $90^{\circ}$ )

#### 3.2 การติดตั้งชุดทดสอบและวิธีการทดสอบ

การติดตั้งชุดทดสอบเครื่องแลกเปลี่ยนความร้อนแสดงดังรูปที่ 2 จากรูปชุดทดสอบประกอบด้วยพัดลมแรงดันสูง (High pressure blower) ขนาด 1.5 กิโลวัตต์ เป็นแหล่งกำเนิดของไหลทดสอบ (อากาศ) โดยมี inverter เป็นตัวควบคุมความเร็วของพัดลม ทำให้สามารถควบคุมอัตราการไหลของอากาศที่เข้าสู่ส่วนทดสอบได้ จากนั้นาอากาศไหลผ่านมาอย่างแผ่น orifice meter ซึ่งใช้เป็นตัววัดอัตราการไหลของอากาศที่ทางเข้าชุดทดสอบโดยมี inclined manometer เป็นตัววัดค่าความแตกต่างของระดับน้ำเพื่อนำไปคำนวนผลหาก่อตัวอัตราการไหลของอากาศ จากนั้นาอากาศไหลผ่าน settling tank และ calm section ซึ่งทำหน้าที่ปรับสภาพการไหลของอากาศให้มีลักษณะการไหลแบบพัฒนาเต็มที่ (fully developed flow) ก่อนเข้าสู่ส่วนทดสอบ (test section) โดยท่อทดสอบถูกทำให้ร้อนด้วยชุด漉ไฟฟ้า (electrical wire) ขนาด 2000 W และทำการควบคุมฟลักซ์ความร้อนของชุด漉ไฟฟ้า ให้คงที่ ส่วนทดสอบถูกหุ้มฉนวนอย่างดีเพื่อป้องกันการสูญเสียความร้อนออกสู่บรรยากาศภายนอก เทอร์โมคัปเปลี่ยนนิต K จำนวน 24 ตัว ถูกนำมาติดตั้งที่ผิวห่อทดสอบเพื่อใช้วัดค่าอุณหภูมิที่ผิว 24 ตำแหน่ง ขณะที่อุณหภูมิทางเข้าและทางออกจะใช้เทอร์โมคัปเปลี่ยนนิต RTD (PT100) ในการวัดค่า โดยเทอร์โมคัปเปลี่ยนนิตต่อ กับเครื่องบันทึกข้อมูล (data logger) และคอมพิวเตอร์จะทำหน้าที่บันทึกข้อมูลที่ได้จาก data logger ในส่วนของการวัดค่าความดันท่อกร่อง

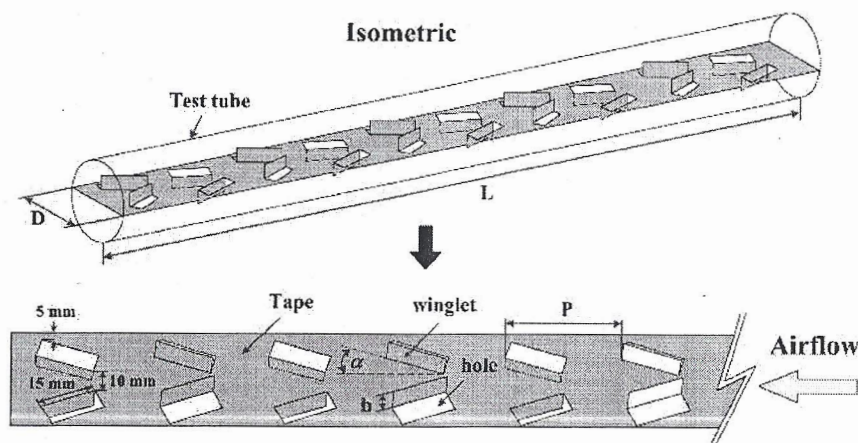
ระหว่างตำแหน่งทางเข้าและทางออกของส่วนทดสอบจะใช้มานอมิเตอร์แบบดิจิตอล (digital manometer) เป็นตัววัดค่า พารามิเตอร์ต่างๆ และเงื่อนไขที่ใช้ในการทดสอบถูกสรุปไว้ในตารางที่ 1

ตารางที่ 1 รายละเอียดของพารามิเตอร์และเงื่อนไขที่ใช้ในการทดสอบ

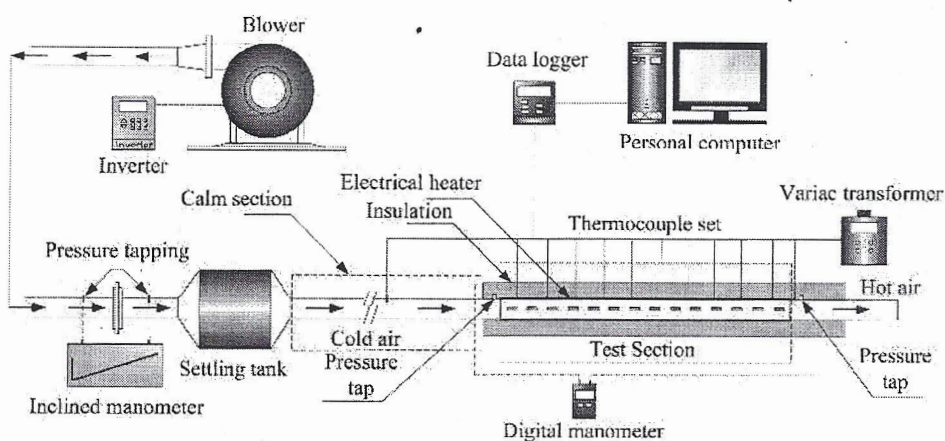
|                 |                    |
|-----------------|--------------------|
| Reynolds number | 4200 to 25,900     |
| $\alpha$        | 30°, 45°, 60°, 90° |
| BR              | 0.3                |
| PR              | 3                  |
| Tape thickness  | 0.5 mm             |
| Tape length     | 1200 mm            |

Working fluid

Air



รูปที่ 1 รายละเอียดของแผ่นปิดทดสอบ



รูปที่ 2 การติดตั้งอุปกรณ์

#### 4. ผลการทดลอง

##### 4.1 การทดสอบท่อเปล่าผิวนิ่ม

การนำเสนอผลการศึกษาเชิงทดลองของการ

ถ่ายเทความร้อนและความเสียดทานภายในท่อ

แลกเปลี่ยนความร้อนผิวเรียบแสดงในเทอมของ เลขนัยเชิลท์ ( $Nu$ ) และตัวประกอบเสี้ยดทาน' ( $f$ ) ตามลำดับ เพื่อความถูกต้องของชุดทดลองจึงทำการทวนสอบท่อเปล่าผิวเรียบและนำผลที่ได้เปรียบเทียบกับ รหัสพันธ์อีโนติด โดยผลของค่า  $Nu$  จากการทดลองถูกนำมาเปรียบเทียบกับรหัสพันธ์ของ Gnielinski ในขณะที่ค่า  $f$  ทำการเปรียบเทียบกับรหัสพันธ์ของ Petukhov จากเอกสารอ้างอิง [9] โดยรหัสพันธ์ทั้งหมดแสดงในสมการที่ (12) และ (13) ตามลำดับ

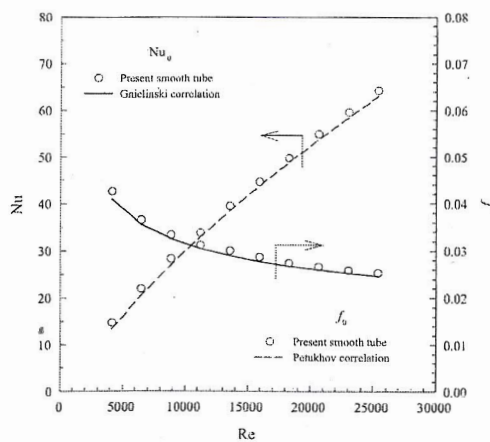
รหัสพันธ์ของ Gnielinski,

$$Nu = \frac{(f/8)(Re-1000)\Pr}{1+12.7(f/8)^{1/2}(\Pr^{2/3}-1)} \quad (12)$$

รหัสพันธ์ของ Petukhov,

$$f = (0.79 \ln Re - 1.64)^{-2} \quad (13)$$

การเปรียบเทียบค่า  $Nu$  และ  $f$  ที่ได้จากการทดลองกับรหัสพันธ์จากสมการที่ (12) และ (13) ถูกแสดงในรูปที่ 3 จากรูปจะเห็นได้ว่าค่า  $Nu$  ที่ได้จากการทดลองมีค่ามากกว่า  $Nu$  จากรหัสพันธ์เล็กน้อย โดยมีค่าคลาดเคลื่อนเฉลี่ย 6% ขณะที่ค่า  $f$  จากผลการทดลองมีค่ามากกว่าที่ได้จากรหัสพันธ์เล็กน้อยเช่นกัน โดยมีค่าความคลาดเคลื่อนเฉลี่ย 7%

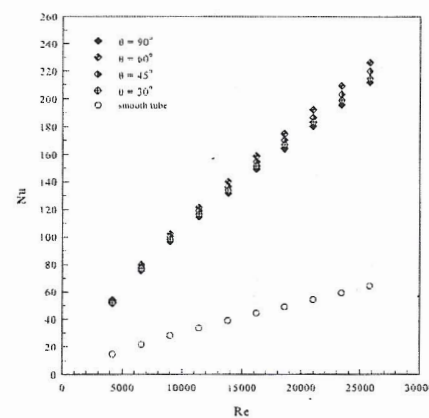


รูปที่ 3 ความสัมพันธ์ระหว่าง  $Nu$  และ  $f$  กับ  $Re$  กรณีท่อเปล่าผิวเรียบ

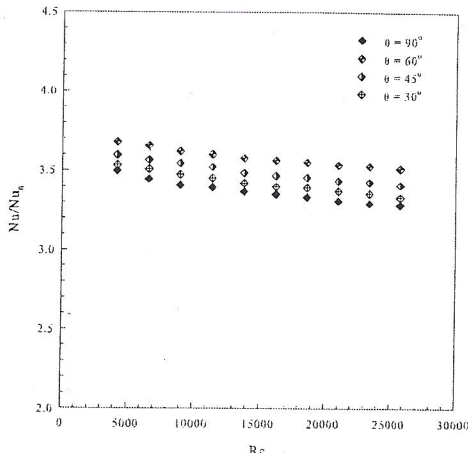
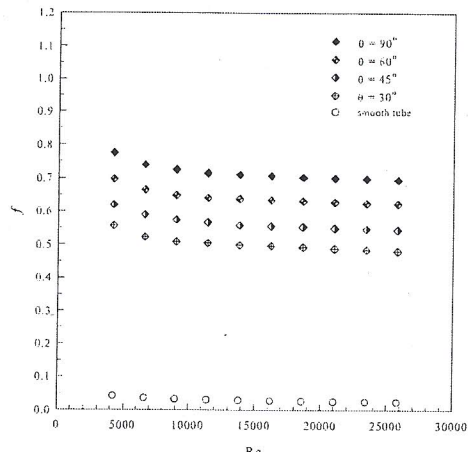
#### 4.2 การถ่ายเทความร้อน

ความสัมพันธ์ระหว่าง  $Nu$  กับ  $Re$  แสดงดังรูปที่ 4 จากการทดลองพบว่า การติดตั้งแผ่นปีกที่ 4 สำหรับการลดความร้อนผิวเรียบทุกมุม ประทับโดยแผ่นปีกที่มีมุมประทับ  $60^\circ$  ให้ค่า  $Nu$  สูงกว่าท่อเปล่าผิวเรียบทุกมุม เนื่องจากมีระดับการหมุนคงของ流体 ภายในห้องสูง ผลให้เกิดการซัดขาดของการพัดพาชั้นขอบเขตความร้อน (thermal boundary layer) ทำให้ของไหลทำงานสามารถเพิ่มการแลกเปลี่ยนความร้อนจากบริเวณผิวท่อร้อนได้มากขึ้น ขณะที่แผ่นปีกมุมประทับ  $90^\circ$  ของไหลจะไหลข้ามผ่านและหมุนวนบริเวณด้านหลังปีกเท่านั้น ซึ่งผลการทดลองนี้สอดคล้องกับเอกสารอ้างอิง [10,11] การติดตั้งแผ่นปีกให้ค่า  $Nu$  สูงกว่ากรณีท่อเปล่าผิวเรียบอยู่ในช่วง 69–73% โดยกรณี  $\alpha = 60^\circ$  ให้ค่า  $Nu$  สูงกว่า  $\alpha = 45^\circ$ ,  $30^\circ$  และ  $90^\circ$  ตามลำดับ

รูปที่ 5 แสดงความสัมพันธ์ระหว่างอัตราส่วนเลขนัยเชิลท์กรณีทดสอบต่อเลขนัยเชิลท์ของท่อผิวเรียบ ( $Nu/Nu_0$ ) กับ  $Re$  จากการทดลองพบว่าค่า  $Nu/Nu_0$  มีแนวโน้มลดลงเล็กน้อยเมื่อมีการเพิ่มขึ้นของค่า  $Re$  โดยการติดตั้งแผ่นปีกให้ค่า  $Nu/Nu_0$  เฉลี่ยเท่ากับ 3.58, 3.49, 3.43 และ 3.37 สำหรับกรณี  $\alpha = 60^\circ$ ,  $45^\circ$ ,  $30^\circ$  และ  $90^\circ$  ตามลำดับ การติดตั้งแผ่นปีก  $\alpha = 60^\circ$  มีค่า  $Nu/Nu_0$  สูงกว่า  $\alpha = 45^\circ$ ,  $30^\circ$  และ  $90^\circ$  ในช่วง 2.2–2.9%, 4.0–5.1% และ 5.0–6.5% ตามลำดับ



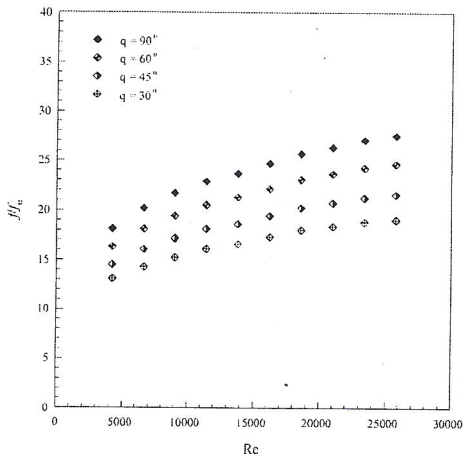
รูปที่ 4 ความสัมพันธ์ระหว่าง  $Nu$  กับ  $Re$

รูปที่ 5 ความสัมพันธ์ระหว่าง  $Nu/Nu_0$  กับ  $Re$ รูปที่ 6 ความสัมพันธ์ระหว่าง  $f$  กับ  $Re$ 

#### 4.3 ตัวประกอบเสียดทาน

การสูญเสียพลังงานเนื่องจากความเสียดทาน สำหรับการไหลของอากาศผ่านท่อที่ติดตั้งแผ่นปีกแสดงใน เทอมของตัวประกอบเสียดทาน ( $f$ ) และอัตราส่วนตัว ประกอบเสียดทานกรณีทดสอบต่อตัวประกอบเสียดทาน ของท่อเปล่าผ่านเรียบ ( $f/f_0$ )

ความสัมพันธ์ระหว่าง  $f$  กับ  $Re$  แสดงดังรูปที่ 6 จากรูปแสดงให้เห็นถึงความเสียดทานที่เพิ่มขึ้นเนื่องจาก การติดตั้งแผ่นปีก โดยแผ่นปีกที่  $\alpha = 90^\circ$  มีค่า  $f$  สูงสุด ตามด้วย  $\alpha = 60^\circ, 45^\circ$  และ  $30^\circ$  ตามลำดับ เนื่องจาก กรณีมุมปะทะค่าสูง ( $\alpha = 90^\circ$ ) ปีกจะไปขวางกันการไหล ของของไหลส่งผลให้เกิดความเสียดทานสูงขึ้น ซึ่งผลการ ทดลองนี้สอดคล้องกับกลไกการไหลของเอกสารอ้างอิง [10,11] การติดตั้งแผ่นปีกส่งผลให้ค่า  $f$  เพิ่มสูงขึ้น 92.4– 96.4% เมื่อเปรียบเทียบกับท่อเปล่าผ่านเรียบ

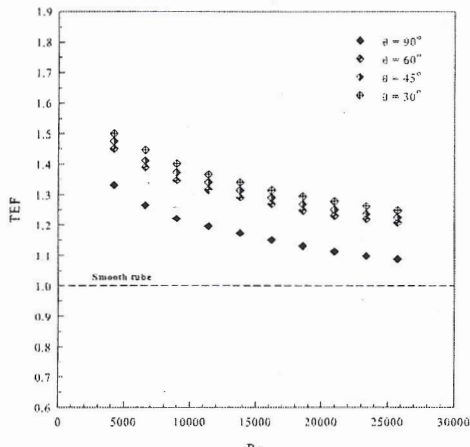
รูปที่ 7 ความสัมพันธ์ระหว่าง  $f/f_0$  กับ  $Re$ 

รูปที่ 7 แสดงความสัมพันธ์ระหว่าง  $f/f_0$  กับ  $Re$  จากการทดลองพบว่า เมื่อค่า  $Re$  เพิ่มขึ้นส่งผลให้ค่า  $f/f_0$  เพิ่มขึ้นตาม โดย  $f/f_0$  มีค่าเฉลี่ยเท่ากับ 23.8, 21.4, 18.8 และ 16.7 สำหรับกรณีการติดตั้งแผ่นปีกที่  $\alpha = 90^\circ, 60^\circ, 45^\circ$  และ  $30^\circ$  ตามลำดับ

#### 4.4 สมรรถนะเชิงความร้อน

เพื่อประเมินสมรรถนะของเครื่องแลกเปลี่ยน ความร้อนพารามิเตอร์ที่รู้จักในรูปสมรรถนะเชิงความร้อน (Thermal Enhancement Factor, TEF) ถูกนำมาใช้ใน การประเมินผลตั้งแสดงในสมการที่ (11)

รูปที่ 8 แสดงความสัมพันธ์ระหว่าง TEF กับ Re ซึ่งเป็นข้อมูลที่คำนวนจากค่า Nu และ  $f$  โดยคิดที่กำลังขับเดียวกัน จากผลการทดลองพบว่า แนวโน้มของค่า TEF ลดลงเมื่อค่า Re เพิ่มขึ้น การติดตั้งแผ่นปีกมีค่า TEF อยู่ในช่วง 1.09–1.33, 1.21–1.45, 1.23–1.47 และ 1.25–1.50 สำหรับ  $\alpha = 90^\circ, 60^\circ, 45^\circ$  และ  $30^\circ$  ตามลำดับ กรณีแผ่นปีกที่  $\alpha = 30^\circ$  มีค่า TEF สูงสุด ตามด้วย  $\alpha = 45^\circ, 60^\circ$  และ  $90^\circ$  ตามลำดับ เนื่องจากกรณี  $\alpha = 30^\circ$  มีผลกระทบจากความต้านทานการไหลค่อนค้างต่ำ โดย TEF มีค่าสูงสุดเท่ากับ 1.5 ที่  $\alpha = 30^\circ$  และ  $Re = 4200$



รูปที่ 8 ความสัมพันธ์ระหว่าง TEF กับ Re

### 5. สรุปผลการทดลอง

การศึกษาอิทธิพลของการติดตั้งแผ่นปีกที่มีมุนประทະต่างๆ ต่อสมรรถนะเชิงความร้อนของเครื่องแลกเปลี่ยนความร้อนชนิดท่อกลมในช่วงการไหลแบบปั่นป่วนที่มีค่า  $Re = 4200$ – $25,900$  สามารถสรุปได้ดังนี้

- การติดตั้งแผ่นปีกภายในท่อเครื่องแลกเปลี่ยนความร้อนสามารถเพิ่มค่าการถ่ายเทความร้อนได้ถึกกว่าท่อเปล่าผิวเรียบ 69–73%
- สำหรับกรณีทดสอบนี้ แผ่นปีกที่  $\alpha = 30^\circ$  มีค่า TEF สูงสุด โดยมีค่าเท่ากับ 1.5 เนื่องจากมีผลกระทบจากค่าความเสียดทานการไหลในท่อของ  $f$  ต่ำกว่าการ

ติดตั้งแผ่นปีกที่มุนประทະอื่นๆ กรณีแผ่นปีกที่  $\alpha = 30^\circ$  ให้ค่า TEF สูงกว่า  $\alpha = 45^\circ, 60^\circ$  และ  $90^\circ$  เท่ากับ 2%, 3.6% และ 12.5% ตามลำดับ

➤ การเลือกใช้อุปกรณ์สร้างการไหลหมุนคงตามแนวแกนชนิดแผ่นปีกแบ่งได้เป็น 2 กรณีคือ (1) หากต้องการได้ค่าการถ่ายเทความร้อนสูงควรเลือกใช้  $\alpha = 60^\circ$  เนื่องจากให้ค่า Nu สูงสุด (2) หากต้องการในเรื่องของการประหยัดพลังงานควรเลือกใช้  $\alpha = 30^\circ$  เนื่องจากให้ค่า TEF สูงสุด

### 6. เอกสารอ้างอิง

- [1] Promvonge, P. (2008). Thermal performance in circular tube fitted with coiled square wires, Energy Conversion and Management, vol. 49, pp. 980–987.
- [2] Promvonge, P. (2008). Thermal augmentation in circular tube with twisted tape and wire coil turbulators, Energy Conversion and Management, vol. 49, pp. 2949–2955.
- [3] Eiamsa-ard, S., Thianpong, C., Promvonge, P. (2006). Experimental investigation of heat transfer and flow friction in a circular tube fitted with regularly spaced twisted tape elements, International Communications in Heat and Mass Transfer, vol. 33, pp. 1225–1233.
- [4] Eiamsa-ard, S., Thianpong, C., Eiamsa-ard, P., Promvonge, P. (2009). Convective heat transfer in a circular tube with short-length twisted tape insert, International Communications in Heat and Mass Transfer, vol. 36, pp. 365–371.
- [5] Bhuiya, M.M.K., Chowdhury, M.S.U., Saha, M., Islam, M.T. (2013). Heat transfer and friction factor characteristics in turbulent flow through a tube fitted with perforated twisted tape inserts,



- International Communications in Heat and Mass Transfer, vol. 46, pp. 49–57.
- [6] Xu, Y., Islam, M.D., Kharoua, N. (2017). Numerical study of winglets vortex generator effects on thermal performance in a circular pipe, International Journal of Thermal Sciences, vol. 112, pp. 304–317.
- [7] Skullong, S., Promvonge, P., Thianpong, C., Pimsarn, M. (2016). Heat transfer and turbulent flow friction in a round tube with staggered-winglet perforated-tapes, International Journal of Heat and Mass Transfer, vol. 95, pp. 230–242.
- [8] Skullong, S., Promvonge, P., Jayranaiwachira, N., Thianpong, C. (2016). Experimental and numerical heat transfer investigation in a tubular heat exchanger with delta-wing tape inserts, Chemical Engineering and Processing, vol. 109, pp. 164–177.
- [9] Bergman, T.L., Lavine, A.S., Incropera, F.P., Dewitt, P.D. (2011). Fundamentals of Heat and Mass Transfer, seventh edition, John Wiley & Sons Inc.
- [10] Promvonge, P., Sripathanapipat, S., Tamna, S., Kwankaomeng, S., Thianpong, C. (2010). Numerical investigation of laminar heat transfer in a square channel with 45° inclined baffles, International Communications in Heat and Mass Transfer, vol. 37, pp. 170–177.
- [11] Promvonge, P., Sripathanapipat, S., Kwankaomeng, S. (2010). Laminar periodic flow and heat transfer in square channel with 45° inline baffles on two opposite walls, International Journal of Thermal Sciences, vol. 49, pp. 963–975.